

Mo掺杂Ce/石墨烯(GE)催化剂的制备及脱硝性能

李鹏¹ 李智芳^{2,3} 耿翠¹ 康燕¹ 张超¹ 杨长龙^{*,1,2,3}

(¹齐齐哈尔大学化学与化学工程学院,齐齐哈尔 161006)

(²齐齐哈尔大学材料科学与工程学院,齐齐哈尔 161006)

(³黑龙江省聚合物基复合材料重点实验室,齐齐哈尔 161006)

摘要:采用浸渍法制备了不同负载量Mo掺杂Ce/GE催化剂,对其脱硝性能进行了测试,初步探明了Mo掺杂Ce/GE催化剂促进SCR活性增强的内在机制。结果表明,Mo的添加使 $n_{Ce^{3+}}/(n_{Ce^{3+}}+n_{Ce^{4+}})$ 比率增加、表面吸附氧(O_B)含量增加及催化剂酸性位点增加,从而提高催化剂的脱硝活性。与5Ce/GE和5Mo/GE相比,5Ce-5Mo/GE催化剂脱硝性能更加优异。当Mo负载量为5%时,催化剂脱硝活性最好,在250℃时NO_x转化率达到了99%。此外,5Ce-5Mo/GE催化剂具有较好的抗硫性能。

关键词:氮氧化物;选择性催化还原;石墨烯;Ce;Mo

中图分类号:O614.33²; O614.61²; TQ426.6 文献标识码:A 文章编号:1001-4861(2018)12-2205-06

DOI:10.11862/CJIC.2018.269

Mo-Doped Ce/GE Catalyst for Selective Catalytic Reduction of NO_x by NH₃

LI Peng¹ LI Zhi-Fang^{2,3} GENG Cui¹ KANG Yan¹ ZHANG Chao¹ YANG Chang-Long^{*,1,2,3}

(¹College of Chemistry and Chemical Engineering, Qiqihar University, Qiqihar, Heilongjiang 161006, China)

(²College of Materials Science and Engineering, Qiqihar University, Qiqihar, Heilongjiang 161006, China)

(³Heilongjiang Provincial Key Laboratory of Polymeric Composite Materials, Qiqihar, Heilongjiang 161006, China)

Abstract: Mo-doped Ce/GE catalysts with different loading amounts were prepared by impregnation method, which were examined as catalysts in the selective catalytic reduction of NO_x by NH₃ (NH₃-SCR). Furthermore, the intrinsic mechanism of Mo-doped Ce/GE catalysts for enhancing SCR activity was preliminarily investigated. It was found that the addition of Mo can increase the ratio of $n_{Ce^{3+}}/(n_{Ce^{3+}}+n_{Ce^{4+}})$, the oxygen content on the surface and the acid sites of the catalyst, thus enhancing SCR activity. Compared with 5Ce/GE and 5Mo/GE, 5Ce-5Mo/GE catalyst showed more outstanding catalytic activity. In addition, the catalyst exhibited the best activity and almost 99% conversion of NO_x at 250℃, when the loading amount is 5%. 5Ce-5Mo/GE catalyst exhibited good sulfur resistance performance.

Keywords: nitrogen oxide; selective catalytic reduction; graphene; Ce; Mo

0 引言

选择性催化还原(SCR)是工业脱硝、控制氮氧化

物排放的一种有效的方法^[1-2]。目前,商业催化剂V₂O₅-WO₃/TiO₂仍广泛用于工业脱硝,但其存在使用温度高(300℃以上)、催化剂易失活、使用寿命短等

收稿日期:2018-06-20。收修改稿日期:2018-09-22。

国家自然科学基金(No.51708309),黑龙江省自然科学基金(No.QC2017065),黑龙江省教育厅基本科研业务专项(No.135109303,135109103),黑龙江省教育厅“植物性食品加工技术特色学科”专项(No.YSTSXK201872),齐齐哈尔市科委(No.GYGG-090013-1)和齐齐哈尔大学创新创业计划资助项目。

*通信联系人。E-mail:changlongy@163.com

弊端。因此,开发低温、高活性脱硝催化剂具有重要的现实意义^[3]。

以过渡金属 Ce 为活性中心的催化剂在氧化和还原条件下,通过 Ce³⁺和 Ce⁴⁺之间的转换存储和释放氧,可以使 NO 氧化为 NO₂,在低温下表现出良好的脱硝性能^[4]。Huang 等制备的核壳纳米结构催化剂 CeO₂@TiO₂,在 NH₃-SCR 反应中表现出高活性和稳定性,同时具有优异的 N₂ 选择性和良好的抗水、抗硫性能^[5]。Zhang 等制备的 Mn/Ce-ZrO₂ 催化剂在 NH₃-SCR 反应中,180 ℃时脱硝活性达到 98.1%,并且催化剂表现出较强的氧化还原性和抗水、抗硫性^[6]。Wang 等制备了 Cu-SSZ-13 和 Ce/Cu-SSZ-13 催化剂,在快速 SCR 反应中 Ce 的引入可以提高 NO_x 的转化率,有助于改善催化剂的低温活性,并保持了 SSZ-13 催化剂的表面结构^[7]。Wang 等制备的 Mn-Fe-Ce/Al₂O₃/堇青石催化剂在 120~300 ℃ NO 转化率达到 93%以上,原因是 Ce/Fe 的添加可以明显提高催化剂的脱硝活性^[8]。Wu 等发现催化剂 Mn-Fe/Ce_{0.4}Ti_{0.6}O₂ 中 Ce 的添加可以明显提高催化剂的脱硝活性^[9]。Xu 等制备的 MnO_x/CeO₂ 负载型催化剂在 NH₃-SCR 反应中,在温度范围为 80~150 ℃时具有约为 100% 的 NO 转化率^[10]。Dou 等制备了不同 Ce 负载量的 CuCe/ZSM-5 催化剂,发现 Ce 的加入使晶格氧的迁移速率比 Cu/ZSM-5 显著提高^[11]。在 Ce 基催化剂中引入 Mo 对 SCR 催化活性有促进作用,同时可以显著提高 N₂ 选择性^[12-14]。Liu 等考察了 MoO₃掺杂的 CeO₂-ZrO₂ 催化剂对 NH₃ 选择性催化还原 NO_x 的影响,高度分散的 MoO₃ 不仅导致催化剂表面形成更多的 L 酸和 B 酸位,而且还增加了催化剂的表面酸性和催化剂的氧化还原性质,从而使 SCR 活性增强^[15]。Li 等研究了 CeO₂-MoO₃/TiO₂ 催化剂活性的影响因素,分析结果表明 Mo 的添加对催化剂失活起到了抑制作用还保护了催化剂的酸性位点^[16]。

本文基于石墨烯(GE)比表面积大和抗硫化等特性,以 GE 为载体,制备负载型 Ce/GE、Mo/GE、Ce-Mo/GE 催化剂,研究 Mo 掺杂 Ce/GE 催化剂酸性位点的内在规律,确定催化剂的适宜配比,探索 Mo 掺杂 Ce/GE 催化剂促进 SCR 活性增强的机理。

1 实验部分

1.1 氧化石墨(GO)的制备

采用改良 Hummer 法制备 GO^[17]。将 5 g 石墨

粉,2.5 g 硝酸钠和 115 mL 浓硫酸加入置于冰水浴的三颈瓶中进行搅拌,待混合均匀后加入 15 g 高锰酸钾,反应 2 h 后置于 35 ℃恒温水浴继续反应 30 min,再将三颈瓶转移至冰水浴中滴加 230 mL 的去离子水,最后 98 ℃恒温水浴反应 20 min,冷却后加入 50 mL 过氧化氢搅拌 10 min。分别用 HCl 和去离子水进行洗涤、干燥。

1.2 Ce-Mo/GE 催化剂的制备

采用浸渍法制备 5Ce-5Mo/GE 催化剂。取一定量的氧化石墨粉加入到去离子水中,超声 2 h,加入 0.130 g 硝酸铈和 0.077 g 钼酸铵,搅拌 10 h,80 ℃ 干燥。将得到的样品研磨,在 800 ℃氮气下焙烧 8 h。改变硝酸铈和钼酸铵的量分别制备 5Ce/GE、5Mo/GE 以及 1Ce-1Mo/GE、3Ce-3Mo/GE、7Ce-7Mo/GE、9Ce-9Mo/GE 催化剂(Ce、Mo 前的数字为相应元素的负载质量分数值)。

1.3 催化剂表征

日本理学公司型号 Smartlab X 射线衍射仪(XRD)表征样品的晶体结构,条件为:Cu K α 射线, $\lambda=0.154\text{06 nm}$, 扫描范围(2θ)为 $5^\circ\text{--}80^\circ$, 操作电流 200 mA, 操作电压 45 kV。日立公司型号 H-7650 透射电子显微镜(TEM)表征样品的微观结构(分辨率 0.2 nm, 加速电压 40~120 kV)。美国康塔仪器公司型号 Autosorb IQ 比表面积和孔径分析仪测试催化剂的 N₂ 吸附-脱附性质,再计算比表面积、孔径分布以及孔容。美国 Thermo Fisher 公司型号 ESCALAB 250XI X 射线光电子能谱仪(XPS)对样品的表面化学组成及各元素的化学状态进行表征分析。美国麦克仪器公司 AutoChem2920 NH₃ 程序升温脱附(NH₃-TPD)表征分析催化剂的表面酸性。美国麦克仪器公司 AutoChem2920 H₂ 程序升温还原(H₂-TPR)表征分析催化剂的氧化还原性能。

1.4 催化剂的脱硝活性评价

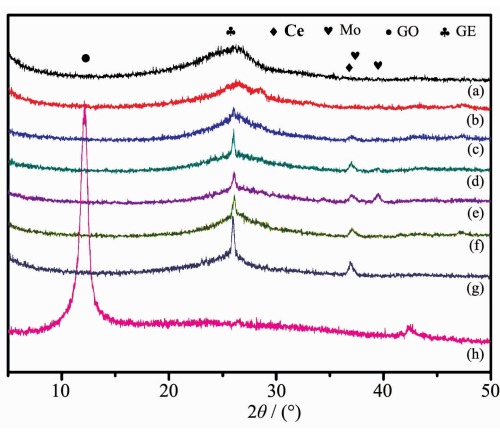
在上海江科 QJK45 脱硝实验装置进行催化剂的脱硝活性测试。催化剂用量 0.3 g,以 N₂ 作为平衡气,NH₃ 为 0.05%(V/V),NO 为 0.05%(V/V),O₂ 含量为 5%(V/V),总气流量 100 mL·min⁻¹,反应温度为 100~350 ℃。根据反应温度 100、150、200、250、300、350 ℃条件下进出口 NO_x 含量 C_{NO_x}ⁱⁿ、C_{NO_x}^{out} 计算 NO_x 转化率 R。

$$R = \frac{C_{NO_x}^{in} - C_{NO_x}^{out}}{C_{NO_x}^{in}} \times 100\% \quad (1)$$

2 结果与讨论

2.1 催化剂的结构及微观形貌分析

氧化石墨及不同 Ce、Mo 负载量的 Ce-Mo/GE 催化剂的 XRD 如图 1 所示。从图中 GO 的 XRD 图(h)可以发现石墨粉氧化物 GO 在 12° 出现强衍射峰, 表明石墨粉氧化物被成功合成^[18]; 所有制备的催化剂在 2θ 为 26.2° 处均出现明显的石墨烯(GE)特征峰, 表明在制备催化剂的过程中, 氧化石墨烯被成功还原^[19]; 图中制备的催化剂在 37° 左右同时出现 CeO_2 和 MoO_3 的特征峰, 在 39° 发现 MoO_3 明显的衍射峰, 说明 Ce、Mo 氧化物成功负载到石墨烯载体上。此外, 我们通过 XPS 测试出 5Ce-5Mo/GE、5Ce/GE 和 5Mo/GE 的金属负载量(质量分数)分别为 Ce 3.82%、Mo 4.65%, Ce 3.72%, Mo 2.98%, 进一步说明 Ce、Mo 已经成功负载到石墨烯载体上。



(a) 1Ce-1Mo/GE, (b) 3Ce-3Mo/GE, (c) 5Ce-5Mo/GE,
(d) 7Ce-7Mo/GE, (e) 9Ce-9Mo/GE, (f) 5Ce/GE,
(g) 5Mo/GE, (h) GO

图 1 制备的催化剂和 GO 的 XRD 图

Fig.1 XRD patterns of as-prepared catalysts and GO

图 2 为 GO(a) 和 5Ce-5Mo/GE(b) 的透射电镜图。从(a)图可以看出 GO 呈透明的薄片状并且有很多的褶皱, 为活性组分的负载提供了较大的比表面积。从(b)图可以看出 Ce、Mo 氧化物均匀负载于石墨烯薄片上, 表明所制备的催化剂在载体上实现了活性组分的均匀分布。

图 3 为 GO、5Ce-5Mo/GE、5Ce/GE、5Mo/GE 催化剂的 N_2 吸附-脱附图。由图可见, 所有催化等温线类型均为Ⅳ型, 滞后环类型均为 H1 型。表明 GO、5Ce-5Mo/GE、5Ce/GE、5Mo/GE 中含有典型的介孔结构, 这些等温线表现为滞后现象与空隙的存在形式有关。

表 1 为 GO、5Ce-5Mo/GE、5Ce/GE、5Mo/GE 催化剂的比表面积、孔容及孔径参数。可以看出 GO 具有较大的比表面积、孔容, 这有利于金属活性组分均匀分散在石墨烯载体上。当负载活性组分后, 比表面积和孔容减少, 说明负载的金属活性组分成功地负载到石墨烯上, 使比表面积减少。与 5Ce/GE 相比, 5Ce-5Mo/GE 催化剂的比表面积少, 但其脱硝活性高于 5Ce/GE 催化剂(见 2.2), 这说明催化剂脱硝

表 1 GO、5Ce-5Mo/GE、5Ce/GE、5Mo/GE 催化剂的比表面积、孔容及孔径

Table 1 Specific surface areas, pore volumes and average pore sizes of GO, 5Ce-5Mo/GE, 5Ce/GE and 5Mo/GE

Sample	$S_{\text{BET}} / (\text{m}^2 \cdot \text{g}^{-1})$	$V_{\text{total}} / (\text{cm}^3 \cdot \text{g}^{-1})$	Average pore size / nm
GO	337	1.29	3.82
5Ce-5Mo/GE	178	0.40	3.83
5Ce/GE	202	0.70	3.82
5Mo/GE	165	1.02	3.83

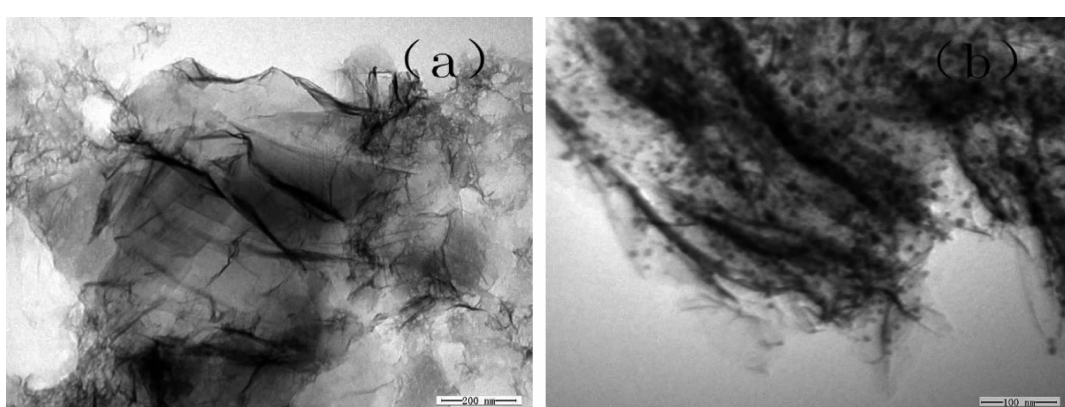


图 2 GO (a) 和 5Ce-5Mo/GE (b) 的 TEM 图

Fig.2 TEM images of GO (a) and 5Ce-5Mo/GE (b)

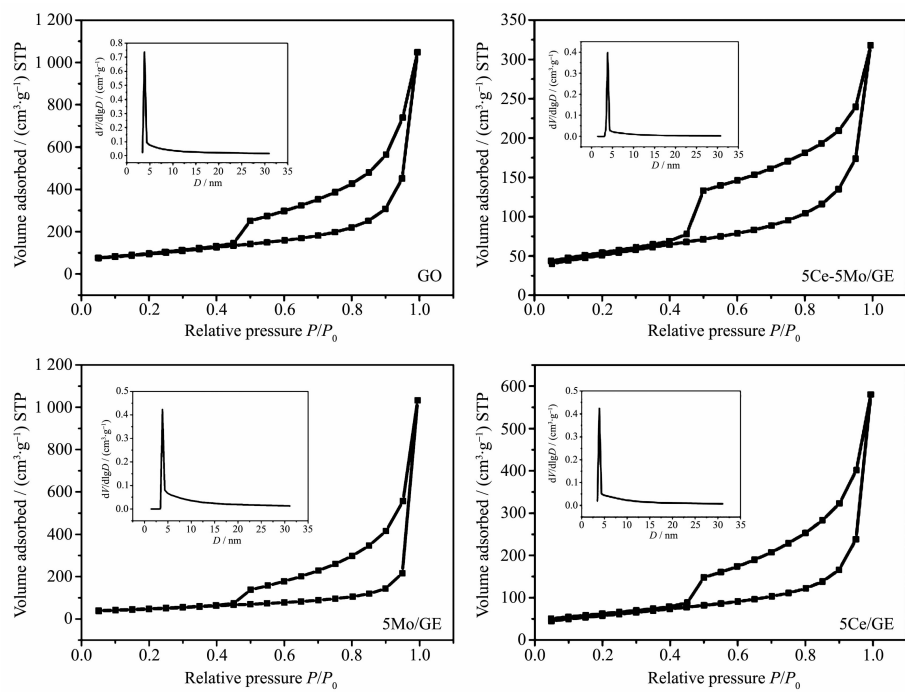
图3 GO、5Ce-5Mo/GE、5Mo/GE、5Ce/GE的N₂吸附-脱附图

Fig.3 Nitrogen adsorption-desorption isotherms of GO, 5Ce-5Mo/GE, 5Mo/GE and 5Ce/GE

活性的高低不仅与比表面积有关还与活性组分的种类有关，同时也验证了Mo的引入显著地提高了催化剂的SCR活性。

2.2 Mo掺杂提高Ce/GE催化剂脱硝活性

图4为不同负载量的Ce-Mo/GE催化剂的脱硝活性测试结果。由图可知，5Ce/GE、5Mo/GE及Ce-Mo/GE的SCR脱硝活性均随反应温度的升高而增大，当反应温度为250℃时，NO_x转化率在90%以上。随负载量的增加Ce-Mo/GE催化剂的SCR催化活性呈先升后降趋势，当Ce、Mo负载量为1%~5%

时催化活性呈上升趋势，而Ce、Mo负载量为5%~9%时催化活性呈下降趋势，可能是由于负载量继续增加后，活性组分发生聚集，使暴露在催化剂表面的活性位点减少。当Ce、Mo负载量为5%时的5Ce-5Mo/GE催化剂在150℃时脱硝转化率达到88%，在200~350℃范围内催化剂的脱硝转化率达到99%并保持不变，表明所制备的催化剂在低温条件下仍具有高活性。

图5(a)、(b)分别为进行脱硝活性测试前、后的5Ce-5Mo/GE催化剂的XRD图，(b)在26.2°处仍可以

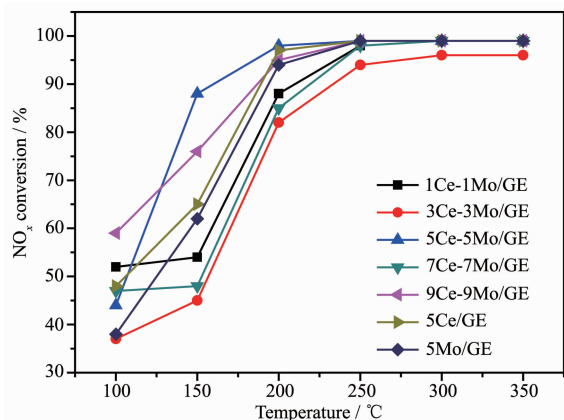
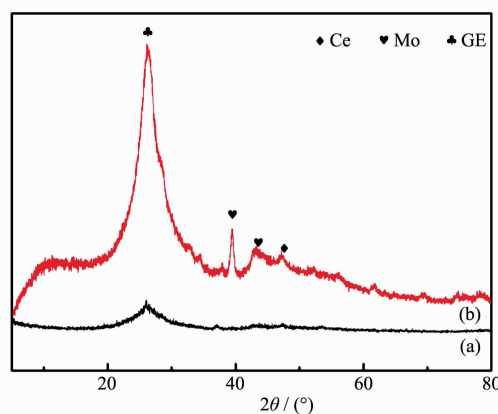
图4 不同Ce、Mo负载量的Ce-Mo/GE催化剂NH₃-SCR活性测试Fig.4 NH₃-SCR activity of Ce-Mo/GE catalysts with different Ce and Mo loading amounts

图5 (a) 新鲜和(b) 反应后的5Ce-5Mo/GE催化剂的XRD图

Fig.5 XRD patterns of fresh (a) and used (b) 5Ce-5Mo/GE catalyst

观察到石墨烯(GE)特征峰,说明进行脱硝活性测试后石墨烯结构没有被破坏,性质稳定。测试后在39°、43°观察到 MoO_3 的特征峰,以及在47°观察到 CeO_2 的特征峰,这可能是由于测试后催化剂的活性组分发生团聚所致。

2.3 Mo掺杂提高Ce/GE SCR催化剂脱硝活性机理

图6为5Ce-5Mo/GE(a)和5Ce/GE(b)的Ce3d XPS谱图。 Ce^{4+} 由4个强峰v(BE~882.5 eV)、u(BE~900.9 eV)、v''(BE~898.2 eV)、u''(BE~917.1 eV),以及2个弱峰v''(BE~889.4 eV)和u''(BE~908.2 eV)组成。 Ce^{3+} 的峰为v'(BE~885.6 eV)和u'(BE~903.7 eV)^[11]。从图中可以看出 Ce^{4+} 、 Ce^{3+} 共存于催化剂中,5Ce/GE催化剂中 $n_{\text{Ce}^{3+}}/(n_{\text{Ce}^{3+}}+n_{\text{Ce}^{4+}})$ 为37.6%,5Ce-5Mo/GE催化剂中 $n_{\text{Ce}^{3+}}/(n_{\text{Ce}^{3+}}+n_{\text{Ce}^{4+}})$ 为41.6%,表明Mo的引入可以促进 Ce^{4+} 向 Ce^{3+} 转化,使 $n_{\text{Ce}^{3+}}/(n_{\text{Ce}^{3+}}+n_{\text{Ce}^{4+}})$ 增加,从而提高催化剂的SCR脱硝性能,这与图4脱硝活性测试中5Ce-5Mo/GE的脱硝活性高于5Ce/GE结果相一致。

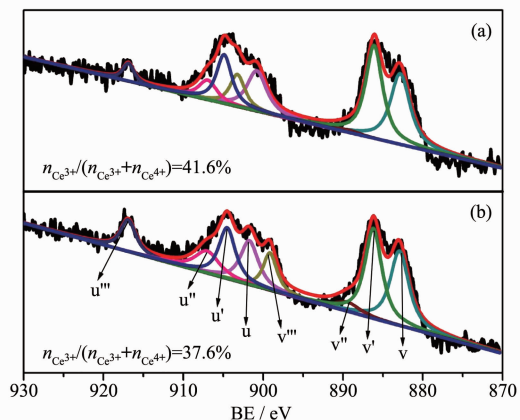


图6 5Ce-5Mo/GE (a)和5Ce/GE (b)的Ce3d XPS谱图

Fig.6 Ce3d XPS spectra of 5Ce-5Mo/GE (a) and 5Ce/GE (b)

图7为5Ce-5Mo/GE(a)和5Ce/GE(b)的O1s XPS谱图。从(a)图中可以明显看出晶格氧(O_α)在530.4 eV处的特征峰、吸附氧(O_β)在531.7 eV处的特征峰、以及表面氧(O_γ)在533.6 eV处的特征峰。(a)、(b)两图对比可以发现引入Mo使 O_β 的峰强度明显增强,表明吸附氧 O_β 的比例增大,其原因是Mo掺杂有助于晶格氧 O_α 向吸附氧 O_β 迁移。表面吸附氧 O_β 在SCR反应中比晶格氧 O_α 具有更高的迁移率^[20],有助于提高催化剂的脱硝活性。

图7 5Ce-5Mo/GE (a)和5Ce/GE (b)的O1s XPS图

图。从图中可以明显看出催化剂在97 °C左右及在400 °C左右分别出现弱酸位和强酸位特征峰,与文献的报道结果相符^[21]。(a)、(b)两条曲线对比可以发现5Ce-5Mo/GE催化剂比5Ce/GE催化剂具有更强的 NH_3 解吸峰,表明Mo的引入有助于促进催化剂表面形成酸性位点,从而提高催化剂的脱硝活性。

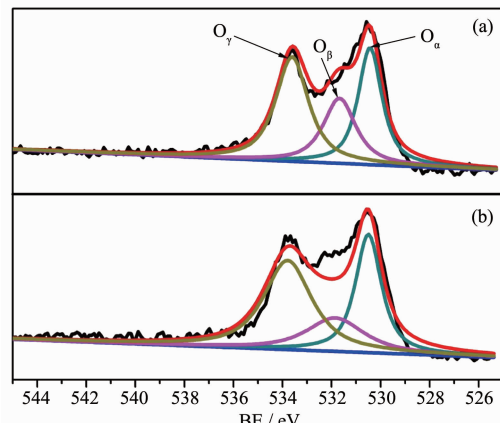


图7 5Ce-5Mo/GE (a)和5Ce/GE (b)的O1s XPS图

Fig.7 O1s XPS spectra of 5Ce-5Mo/GE (a) and 5Ce/GE (b)

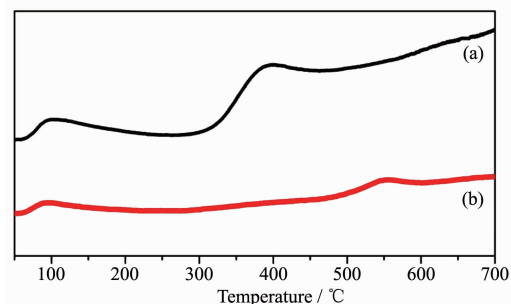


图8 5Ce-5Mo/GE (a)和5Ce/GE (b)的NH₃-TPD图

Fig.8 NH₃-TPD spectra of 5Ce-5Mo/GE (a) and 5Ce/GE (b)

图9为5Ce-5Mo/GE(a)和5Ce/GE(b)的H₂-TPR图。从图中可以看出5Ce/GE、5Ce-5Mo/GE催化剂分

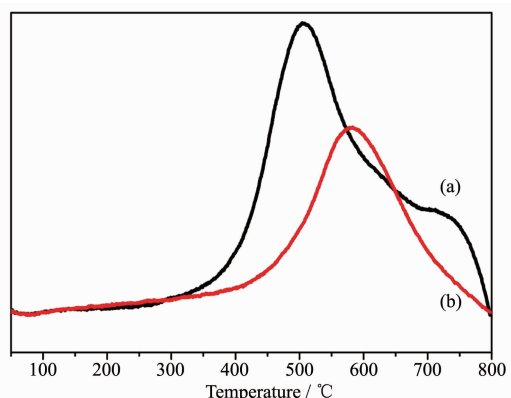


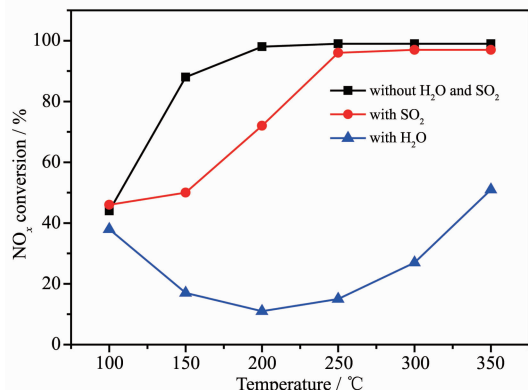
图9 5Ce-5Mo/GE (a)和5Ce/GE (b)的H₂-TPR图

Fig.9 H₂-TPR spectra of 5Ce-5Mo/GE (a) and 5Ce/GE (b)

别在 585 和 504 °C 出现了还原峰，归属于 Ce⁴⁺还原为 Ce³⁺^[15]。与 5Ce/GE 相比，5Ce-5Mo/GE 的峰向低温发生偏移，说明催化剂的低温还原性能增强。此外催化剂还原峰面积增加，说明催化剂氧化还原性能增加，从而使催化剂的脱硝活性增加。

2.4 5Ce-5Mo/GE 催化剂的抗水、抗硫性

图 10 为 5Ce-5Mo/GE 催化剂的抗水、抗硫活性测试。从图中明显可以看出在 SO₂ 存在下催化剂抗硫性能较好。但在低温下催化剂抗硫性能相对较差，这是由于 NH₃ 与 SO₂ 反应生成的硫酸铵或亚硫酸铵覆盖催化剂活性位点，阻塞催化剂孔道使催化活性减弱。在高温下催化剂表面的 SO₂ 会转化为 SO₄²⁻ 增加催化剂的表面酸性，因此催化剂的抗硫性很好^[20]。5Ce-5Mo/GE 催化剂抗水性能较差，是由于 H₂O 与反应气体(NH₃、O₂、NO) 竞争性吸附催化剂表面的活性位点，而且催化剂表面吸附的水产生的羟基会中和其表面的酸性位点，从而使催化剂的脱硝活性降低^[22]。



Reaction conditions: NH₃ 0.05% (V/V), NO 0.05% (V/V), O₂ 5% (V/V), SO₂ 0.01% (V/V), H₂O 3% (V/V), Balanced gas: N₂, Total gas flow: 100 mL·min⁻¹

图 10 5Ce-5Mo/GE 催化剂的抗水、抗硫活性测试
Fig.10 Effect of SO₂ and H₂O on NO_x conversion over 5Ce-5Mo/GE

3 结 论

制备了 Mo 掺杂 Ce/GE 的低温脱硝催化剂，Ce、Mo 金属氧化物均匀地负载在氧化石墨烯载体上。进行了催化剂脱硝活性测试，测试结果表明催化剂的最佳负载量为 Ce 5%、Mo 5%，在 150~350 °C 范围内催化剂的脱硝活性最好。XPS 与 NH₃-TPD 的表征结果表明 Mo 的引入可以促进 Ce⁴⁺向 Ce³⁺转化，使晶格氧 O_α 向吸附氧 O_β 迁移，促进催化剂表面形成更多的酸性位点。初步探明了催化剂 SCR 活性增强

的内在机理。

参 考 文 献：

- Zha K W, Cai S X, Hu H, et al. *J. Phys. Chem. C*, **2017**, *121*:25243-25254
- Li X L, Li Y H. *React. Kinet. Mech. Catal.*, **2014**, *112*:27-36
- Wang H Q, Chen X B, Gao S, et al. *Catal. Sci. Technol.*, **2013**, *3*:715-722
- Li B, Ren Z Y, Ma Z X, et al. *Catal. Sci. Technol.*, **2016**, *6*:1719-1725
- Huang B J, Yu D Q, Sheng Z Y, et al. *J. Environ. Sci.*, **2017**, *55*:129-136
- ZHANG Xiao-Peng(张晓鹏), SHEN Bo-Xiong(沈伯雄). *Journal of Fuel Chemistry and Technology(燃料化学学报)*, **2013**, *41*(1):123-128
- Wang J C, Peng Z L, Qiao H, et al. *Ind. Eng. Chem. Res.*, **2016**, *55*:1174-1182
- WANG Kuan-Ling(王宽岭), WANG Xue-Hai(王学海), LIU Zhong-Sheng(刘忠生). *Contemporary Chemical Industry(当代化工)*, **2015**, *44*(9):2057-2060
- WU Da-Wang(吴大旺), ZHANG Qiu-Lin(张秋林), LIN Tao(林涛), et al. *Chinese J. Inorg. Chem.(无机化学学报)*, **2011**, *27*(1):53-60
- Xu L, Li X S, Crocker M, et al. *J. Mol. Catal. A*, **2013**, *378*:82-90
- Dou B J, Lv G, Wang C, et al. *Chem. Eng. J.*, **2015**, *270*:549-556
- Liu Z M, Zhang S X, Li J H, et al. *Appl. Catal. B: Environ.*, **2014**, *144*:90-95
- Chen X L, Geng Y, Shan W P, et al. *Ind. Eng. Chem. Res.*, **2018**, *57*:1399-1407
- Chang H Z, Jong M T, Wang C Z, et al. *Environ. Sci. Technol.*, **2013**, *47*:11692-11699
- Liu Z M, Su H, Li J H, et al. *Catal. Commun.*, **2015**, *65*:51-54
- Li X, Li X S, Li J H, et al. *J. Hazard. Mater.*, **2016**, *318*:615-622
- Shao Y B, Jing T, Tian J Z, et al. *RSC Adv.*, **2015**, *5*:103943-103955
- Dou Y P, Peng J J, Li W, et al. *J. Nanopart. Res.*, **2015**, *17*:1-10
- Minitha C R, Rajendrakumar R T. *Adv. Mater. Res.*, **2013**, *678*:56-60
- Jiang Y, Xing Z M, Wang X C, et al. *J. Ind. Eng. Chem.*, **2015**, *29*:43-47
- Rao B G, Sudarsanam P, Mallesham B, et al. *RSC Adv.*, **2016**, *6*:95252-95262
- Xu C C, Sun W, Cao L M, et al. *Chem. Eng. J.*, **2016**, *283*:1137-1144